

分光エリプソメトリーを用いた薄膜成長の 実時間観察と制御

齊 藤 忠

東京農工大学工学部電子情報工学科 〒184 東京都小金井市中町 2-24-16

(1997年4月28日受理)

Real-Time Monitoring and Control of Thin-Film Growth Using Spectroscopic Ellipsometry

Tadashi SAITO

Faculty of Technology, Tokyo University of Agriculture and Technology
2-24-16 Nakamachi, Koganei, Tokyo 184

(Received April 28, 1997)

With the complexity of recent semiconductor device structures, *in-situ* monitoring and control for semiconductor processing have become prerequisite to do research and develop the semiconductor devices. Spectroscopic ellipsometry (SE) is an inherently sensitive technique due to the measurement of complex reflection ratios as a function of wavelength. Recent development of high-performance SE setups has enabled the non-contact measurement of thicknesses and compositions for multilayer structures, real-time data acquisition and analysis of the processing and the understanding of monolayer-level surface processes.

1. はじめに

エリプソメトリーに関する最初の論文は1891年のDrudeの論文であると言われているが¹⁾, Siウエハ上の酸化膜厚決定にエリプソメトリーを使用したのはArcherであった²⁾。以来極めて多くの論文が発表されているが、その間に書かれた主なレビュー論文から^{3~5)}, 1960~1975, 1975~1990, 1990~現在の3期に分けてその発展を考えると、その歴史を概略把握するのに都合が良い。
○1960~1975年: 基礎理論の完成、解析プログラムの作成、装置の改良と自動化。装置の自動化では、1969年に電気化学プロセスに関するCahanとSpanierの研究が最も早く⁶⁾、この間の理論の集大成として1977年にAzzamとBasharaのバイブル書が発刊された³⁾。
○1975~1990年: 応用拡大、実用的装置の開発および*in-situ*研究の展開。*In-situ*研究としては、1979年のTheetenの論文があり *in-situ*法でGaAs基板上のAlGaAs成長が行われた⁷⁾。AspnesはAlGaAs量子井戸の実時間フ

ィードバック制御を行い有効性を確認した⁸⁾。また、Collins(1990)はアモルファスSi膜の初期成長に関し研究し、光多チャンネル分析器(Optical Multichannel Analyzer, OMA)方式で装置の高速化を図った⁴⁾。

○1990~現在: *In-situ*装置の市販、実時間制御、高速および高空間分解能装置の開発。

この間の研究の進展については、1993年1月パリで開催された第1回分光エリプソメトリー国際会議のプロシーディングを参考にして頂きたいが、*in-situ*関連で14件の発表があった⁹⁾。

このように、エリプソメトリー技術は過去30年余の研究開発を経て、半導体多層膜構造の評価、半導体デバイスの作製にとって不可欠な手法になってきた。ここでは、とくに最近著しい進歩を見せた *in-situ* (その場) 測定に関し、その現状を紹介する。

2. 光学的測定技術の現状

真空プロセスでは一般に反射型高エネルギー電子回折

(RHEED) 振動が用いられるが、ガス圧が存在する通常のCVDやPVD工程では光学的手段を用いざるを得ない。今まで、分光エリプソメトリー(SE)、反射異方性分光(Reflection anisotropy spectroscopy, RAS)¹⁰⁾、レーザー光散乱(Laser light scattering, LLS)¹¹⁾、表面光吸収(Surface light absorption, SLA)¹²⁾などが報告されている。この中で、SEとRAS技術が最も広く使用されつつあり、SEは材料バルクの性質に関係するので膜厚、組成や温度などのin-situ測定に適しており一方RASは表面構造に敏感で単一層レベルでの測定が可能である。

光学的手法は、試料表面に入射した光の反射率(または透過率)変化を測定するもので、単一層の膜の場合、次のフレネルの式による垂直反射率の時間変化を測定する³⁾。

$$R = \frac{r_{01} + r_{12} \exp(-2i\beta)}{1 + r_{01}r_{12} \exp(-2i\beta)} \quad (1)$$

β は膜厚、膜の誘電関数と測定波長を含む変数である。通常単一波長のレーザーを用い反射率の極値から膜厚のモニタリングが可能であるが厚膜の測定は困難である。分光エリプソメトリー(SE)では、次式による入射面に平行および垂直成分の偏光反射係数比を求める。

$$\rho = \frac{R_p}{R_s} = \tan \Psi \cdot \exp(i\Delta) \quad (2)$$

したがって、SEでは複素反射係数比の分光特性を測定するため膜厚のみならず組成などを精度良く評価でき、ex-situのみならずin-situ技術として応用されている⁴⁾。

3. In-situ SEによるプロセスモニタリング

研究例を紹介する前に、先ず装置について述べる。SEは基本的に偏光子と検光子から構成されるのでプロセス装置に2個のポートが必要で高感度に保つためブリュスター角(約140度)に設定する必要がある。装置の一例をFig. 1に示す¹³⁾。この装置はSiウエハの急速熱酸化やCVDを行える急速アニールおよびイオンビーム処理を行える RTP(Rapid thermal processing) 装置であり、加熱はウエハ上面からヨウ素ランプで単時間で行うことが可能である。装置は真空なので偏光された光が出入りする歪み無しの特殊なガラス窓が必要である。ついで、光入射角のアライメントを行うが通常角度調整可能なステージを窓に付加する。検光された光はOMAで分光検知されパソコンでデータ処理される。In-situデータの収集を行う前、先ず測定の時間間隔および全測定時間を決める。例えば、44チャネル(44波長)のOMAを使い、8秒毎30分間データ収集を行うと約1万点のデータ点になるが、最近のパソコンの高速化でin-situ用として

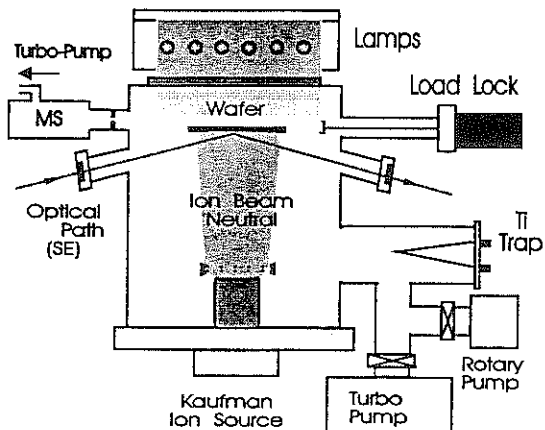


Fig. 1 Schematic diagram of rapid-thermal and ion-beam process chamber with in-situ spectroscopic ellipsometry¹²⁾.

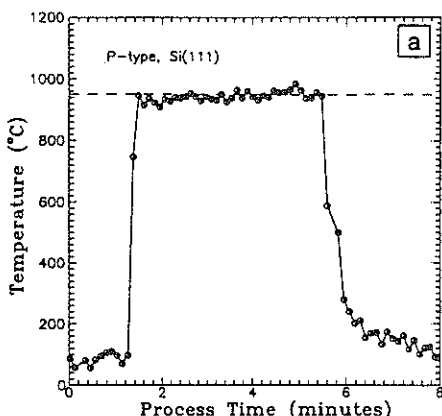


Fig. 2 Temperature of wafer surface vs. process time from the RTP setup in Fig. 1 as measured using in-situ ellipsometry¹³⁾.

充分対応可能である。

In-situ測定では、ウエハ表面温度の測定が重要であるが、これには前もってex-situで試料温度と複素誘電関数の関係を調べておく必要がある。それが既知であれば、モニタリングのみならず制御が可能となる。試料温度の測定では、高エネルギー側の波長(3 eV以上)を使用すれば感度の向上が期待できる。Fig. 2は、Fig. 1の RTP装置を用いSiウエハ表面の温度を測定した実験例である。エリプソメトリー測定には、HeNeレーザーの1波長(632.8 nm)を用い、 Δ と Ψ の温度変化からウエハ表面温度の時間変化を求めた。解析データは温度変化に良く追従しており、熱電対に対する温度精度は18°C rmsであった。一方、急速酸化実験ではSiO₂膜厚と酸化時

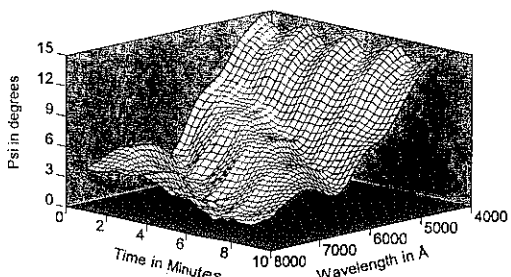


Fig. 3 Ellipsometric parameter ψ vs. time at 44 wavelengths and taken during growth of a four-period GaAs/AlAs superlattice¹⁴⁾.

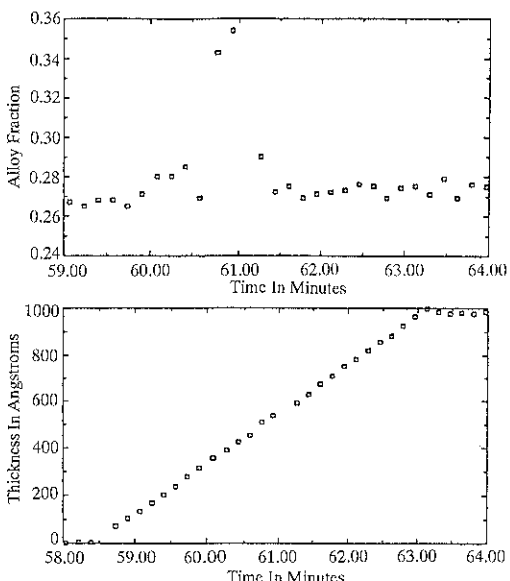


Fig. 4 AlGaAs layer composition and thickness extracted in real-time during 2nd growth¹⁴⁾.

間の関係が得られ、約3%の変動で酸化プロセスの実時間制御が可能になっている。

AlGaAsなどのIII-V 化合物半導体では、膜厚のみならず組成の*in-situ* モニタリングが必要で、この場合単一波長のエリプソメトリーでは不十分で多波長のSEが威力を発揮する。また、III-V では AlGaAs/GaAsなどの多層構造の評価および成長前の自然酸化膜の除去過程のモニターも重要である。Fig. 3は、入射光としてXeランプを用い、試料からの反射光をOMAで44波長に分割して測定を行う方式で、4周期のAlAs/GaAsの分子線エピタキシャル成長を行い、0.5秒毎SEパラメータ— Ψ の変化を測定した結果である。8分間の成長での測定データ数は4.2万点になる。この例では、AlAsお

よびGaAsの成長がそれぞれ±0.1 nm および±0.5 nm の変動に制御され、全膜厚として2および20 nmと設定膜厚が得られている¹⁴⁾。

実時間SE測定した他の実験例をFig. 4に示す。この例は、3波長を用いGaAs基板上に厚さ100 nmのAl-GaAs層を成長した結果で、上図が組成、下図が膜厚の時間変化である。上図の組成変化で時間61分で異常に組成が大きくなっている結果となっているが、これはアルミ製のKセルの不安定性に起因することが後日明らかになった。このように、装置の異常も*in-situ* SEで明らかにできることがある。

4. 単一層レベル評価への挑戦—RASとSEと併用

MBE成長では、RHEEDにより単一層(Monolayer)成長による振動が観察される。Zettlerらは*in-situ* SEを用い、単一層の成長振動観察に挑戦した¹⁰⁾。この振動を観測するには、誘電関数差($\delta < \epsilon_1 >$) = 0.2 ($\delta \tan \Psi \approx 0.0002$)の僅かな変化を検知する必要がある。使用した装置は、Fig. 5に示したように、SEに比較のためRASを付加している。Fig. 6はトリメチルガリウム(TMG)とアルシンを用いるMOCVD法で500°CでGaAs(100)基板上にGaAsの単一層成長を行った結果で見事に振動が観測された。図中(a)はRASを用いて測定した表面構造の微小反射率差で単一層成長毎振動が見られる。一方、SEの誘電関数実数部 $\delta < \epsilon_1 >$ でも振動が明瞭に観察されている。しかし、誘電関数虚数部 $\delta < \epsilon_2 >$ では見られない。SEで振動の観察が可能になったのは、表面上のAsダイマーに関係する表面共鳴エネルギー2.65 eVを選んだことおよび高感度化のためチョッパーとロックインアンプの付加による装置改良によっている。

同じ研究グループは、本手法を用いInP表面の脱酸化(Deoxidation)すなわち自然酸化膜の除去過程について調べた¹⁵⁾。InP単結晶の表面をH₂SO₄/H₂O₂/H₂O溶液を用いてエッチング後MOVPE装置に挿入し、測定感度が高い光エネルギー2.6 eVでのRASと4.7 eVでのSE測定を行った。試料温度は室温から成長温度まで7分で上げた。Fig. 7に示したように、温度上昇と共にSEでの誘電関数虚数部の信号 $\delta < \epsilon_2 >$ は減少し、693 Kでの自然酸化膜の脱着と共に信号は逆に増加し本来のInPの値に近づいている。その後、InPバッファー層の成長を行うとこの差は消失したので、僅かな差は1層以下の表面粗さに依ると考えている。一方、RAS信号 $\Delta r / < r >$ は自然酸化膜が脱着する温度から急激に高い値となっている。これは、InP表面の再構成に起因しており、その後の減少は表面からの熱的Pの脱離によると考えられ

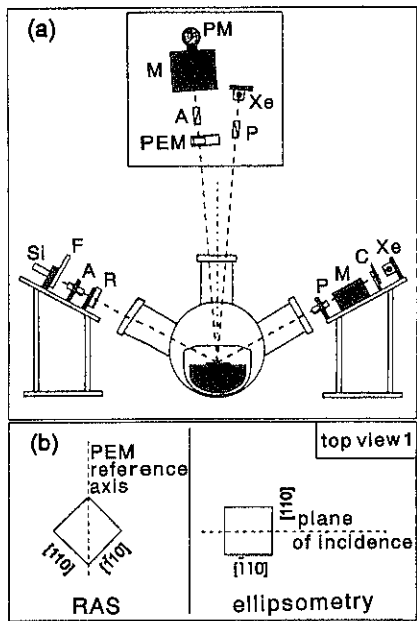


Fig. 5 (a) Schematic drawing of an optical system with reflection anisotropy spectroscopy (RAS) and spectroscopic ellipsometry (SE) for a MOVPE reactor. (b) Sample orientation as used for monitoring RAS and ellipsometry growth oscillation¹⁰.

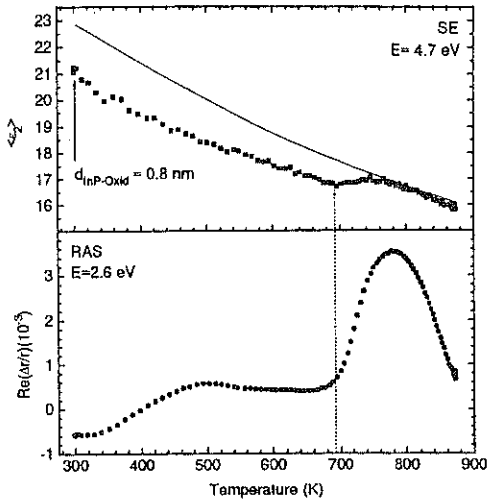


Fig. 7 Deoxidation transients for SE and RAS of wet-chemically etched InP wafer. The thin line in the imaginary dielectric function corresponds to the temperature change of the 4.7 eV signal of the ideal InP surface¹⁵.

る。以上のInP酸化膜の脱離温度は、UHVのデータ(800K)より低い。その原因是、雰囲気のPH₃から分離したH原子による触媒作用であると推測されている。

5. 実時間フィードバックによる成長制御

SEデータを用い、実時間測定を行い、そのデータをフィードバックし成長制御を行った研究例を次に紹介する。

Aspnesらは、TEG (triethylgallium)-TIBAL (triisobutylaluminium)-AsH₃系の化学ビームエピタキシー (chemical-beam epitaxy, CBE) を用い、Al_xGa_{1-x}Asの放物線型量子井戸構造の実時間フィードバック制御を行った⁸。試料温度は、590~600°Cとし、SEの光エネルギーは2.6 eVとして測定し、誘電関数虚数部の信号で組成制御を行った。データ解析では、“ヴァーチャルインターフェース”手法を使用しており、このモデルでは上層との仮想界面を仮定し、2回目のサンプリング時間で得られるSEデータをフィットさせる。その測定周期は1.12秒で、データ収集までの安定化時間0.10秒、ベースライン決定時間0.08秒、データ収集時間0.86秒とデータ処理時間0.10秒から成っている。厚さ20 nmの放物線型量子井戸を作製した結果をFig. 8に示す。上図中の点は実測した組成値、実線は設定値であり、下図はSEデータを実時間フィードバックし、TIBAL供給バルブの制御電圧である。この結果は、組成Xは±0.015の精度で制御されていることを示している。

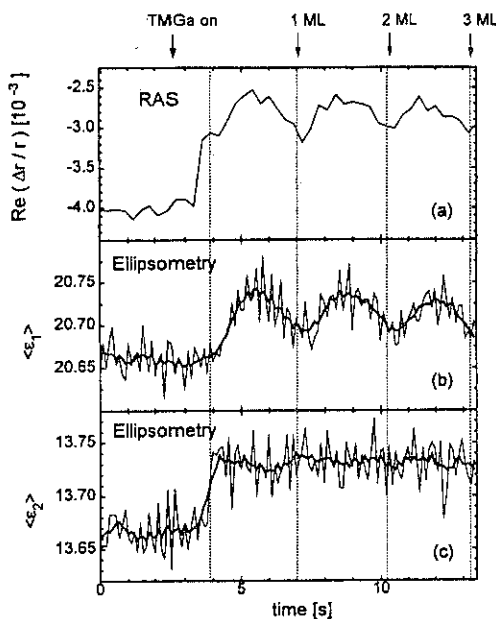


Fig. 6 Growth of GaAs(001) at $T=500\text{ C}$ and at a trimethylgallium partial pressure of 0.33 Pa: (a) RAS oscillation, (b) $\langle \varepsilon_1 \rangle$, (c) $\langle \varepsilon_2 \rangle$ ¹⁰.

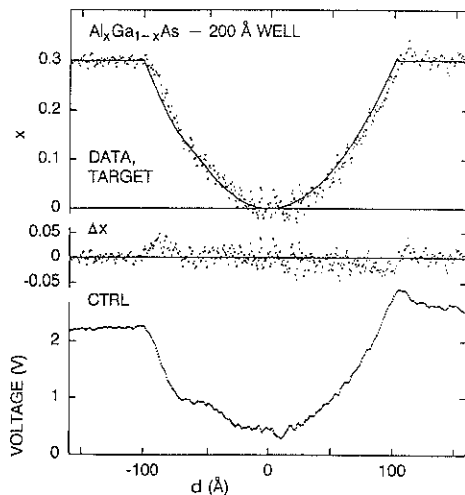


Fig. 8 Data for a 20-nm $\text{Al}_x\text{Ga}_{1-x}\text{As}$ parabolic quantum well. Top: values of x , determined from $\varepsilon_2(x)$ for the outer running 0.31 nm of material. Center: difference between determined and target values. Bottom: control voltage^{8).}

多波長のSEで実時間モニターと制御を行った研究例を紹介する。Johsら¹⁴⁾は、12波長のSEを用い、GaAs基板上へのCdTeエピタキシャル成長の実時間制御を行った。制御方法は、先のAspnesの“ヴァーチャルインターフェース”手法と類似している。SEデータは3秒毎収集され、この時間は成長時間40分に比べ十分に短くこの成長では問題がない。まず、成長温度350°CでのCdTeの誘電関数をex-situで測定しデータベースとして使用する。実験した結果で、最初の4分間速度0.48nm/sで膜成長を行い、その後質量流量計を調節し速度0.28nm/sに変化させた。12波長のデータを収集し解析し、3.15秒毎にフィードバック制御を行った。解析データが変動したのは、各データ点間での成長厚さは僅か2~3単分子層と極めて薄いためであった。

6. 今後の発展

今から約10年前の1988年にAspnesが今後のエリプソメトリーの研究で最も実りある分野は「材料作製およびプロセスでのモニタリング、制御および解析」であると予測した¹⁵⁾。今まで述べてきたように、最近in-situの改良、特に精度向上のための装置の再検討、高速検知器の開発、歪み無し窓材の採用、データの高速処理、自動化測定技術およびフィードバック制御技術の開発が急速に進展し、彼の予測は現実になった。特に、表面での単

一層レベルでの評価を1秒以下で行うことが可能となった点は特筆に値する。この技術は、原子層レベルで膜成長、エッチングや表面変化を評価できることを意味し、特に21世紀に展開が期待されるGビットLSIや光情報デバイスの半導体装置にとって必要不可欠な評価および制御手法になると予想される。装置の改善に伴い論文数も急激に増え、例えば1993年1月にフランス・パリで開催された第1回分光エリプソメトリー国際会議では14件の発表があったが、本年5月に米国チャールストンで開催された第2回分光エリプソメトリー国際会議では40件と激増し、全発表件数の約20%となった。会議のプログラム等は、<http://www.icse-2.psu.edu>のhome pageを、主な発表内容については本誌の“談話室”に掲載されている。

文 献

- 1) P. Drude: Wied. Ann. **43**, 126 (1891).
- 2) R.J. Archer: J. Opt. Soc. Am. **52**, 970 (1962).
- 3) R.M.A. Azzam and N.M. Bashara: "Ellipsometry and Polarized Light" (North Holland Pub. Co., Amsterdam, 1977).
- 4) R.W. Collins: Rev. Sci. Instrum. **61**, 2029 (1990).
- 5) D.E. Aspnes: Thin Solid Films **233**, 1 (1993).
- 6) B.D. Cahan and R.F. Spanier: Surf. Sci. **16**, 166 (1969).
- 7) J.B. Theeten, F. Hottier and J. Hallais: J. Cryst. Growth **46**, 245 (1979).
- 8) D.E. Aspnes, W.E. Quinn, M.C. Tamargo, M.A.A. Pudensi, S.A. Schwarz, M.J.S.P. Brasil, R.E. Nahory and S. Gregory: Appl. Phys. Lett. **60**, 1244 (1992).
- 9) A.C. Boccara, C. Pickering and J. Rivory: "Spectroscopic Ellipsometry" (Elsevier, Amsterdam, 1993), reprinted from Thin Solid Films **233/234** (1993).
- 10) J.-T. Zettler, T. Wethkamp, M. Zorn, M. Pistorsek, C. Meyne, K. Ploska and W. Richter: Appl. Phys. Lett. **67**, 3783 (1995).
- 11) J.E. Epler, T.A. Jung and H.P. Schweizer: Appl. Phys. Lett. **62**, 143 (1993).
- 12) N. Kobayashi and J. Horikoshi: Jpn. J. Appl. Phys. **28**, L 1880 (1989).
- 13) R.K. Sampson, K.A. Conrad, E.A. Irene and H.Z. Massoud: J. Vac. Sci. Technol. B **11**, 2096 (1993).
- 14) B. Johs, J.L. Edwards, K.T. Shiraliagi, R. Dhoopad, K.Y. Choi, G.N. Maracas, D. Meyer, G.T. Cooney and J.A. Woollam: Proc. of Mater. Res. Soc. Symp. 222, Atomic Layer Growth and Processing (Pittsburgh, 1992) p. 75.
- 15) K. Knorr, A. Rumberg, M. Zorn, C. Meyne, T. Trepk, J.-T. Zettler and W. Richter: presented at InP and Related Conference (1996).
- 16) D.E. Aspnes: Proc. SPIE **946**, 84 (1988).